

Χ. Ε. Ακρίβου<sup>1</sup>, Ε. Π. Κοτανίδου<sup>1</sup>, Β-Ρ. Τσινοπούλου<sup>1</sup>, Δ. Κατσαρού<sup>1</sup>, Κ. Κούσκουρας<sup>2</sup>, Σ. Χονδροματίδου<sup>3</sup> Ι. Τσιτουρίδης<sup>3</sup>, Α. Γαλλή-Τσινοπούλου<sup>1</sup>

<sup>1</sup>Μονάδα Ενδοκρινολογίας και Μεταβολισμού, Β' Παιδιατρική Κλινική Α.Π.Θ., Π.Γ.Ν.Θ. ΑΧΕΠΑ, Θεσσαλονίκη,

<sup>2</sup>Τμήμα Ακτινολογίας Α.Π.Θ., Π.Γ.Ν.Θ. ΑΧΕΠΑ Θεσσαλονίκη, <sup>3</sup>Τμήμα Ακτινολογίας Γ.Ν.Θ. Παπαγεωργίου, Θεσσαλονίκη

## Εισαγωγή

- Η ανεπάρκεια αυξητικής ορμόνης (GH) αποτελεί αίτιο κοινού αναστήματος στην παιδική ηλικία.
- Η απεικόνιση του κεντρικού νευρικού συστήματος με μαγνητική τομογραφία (MRI) υποθαλάμου υπόφυσης αποτελεί σημαντικό εργαλείο για την αιτιολογική διαγνωστική διερεύνηση ασθενών με κοινό ανάστημα και ανεπάρκεια GH

**Σκοπός** Μελέτη των απεικονιστικών ευρημάτων στην MRI υποθαλάμου-υπόφυσης μεταξύ παιδιών με ανεπάρκεια GH

## Υλικό και μέθοδος

- Μελέτη των περιστατικών ανεπάρκειας GH και έλαβαν θεραπεία με rhGH κατά την 25ετία 1999-2023 στην Μονάδα Παιδιατρικής Ενδοκρινολογίας και Μεταβολισμού της Β' Παιδιατρικής Κλινικής ΑΠΘ

## Αποτελέσματα

- 171 ασθενείς (119 αγόρια/52 κορίτσια, μέση ηλικία διάγνωσης 8<sup>8/12</sup> έτη)
- Φυσιολογική απεικόνιση υποθαλάμου-υπόφυσης: 101/171 ασθενείς
- Παθολογικά ευρήματα (μεμονωμένα ή συνδυασμός): 70/171 ασθενείς

## Συχνότερες απεικονιστικές συγγενείς παραλλαγές:

- εικόνα μερικώς κενού τουρκικού εφύπτιου
- παρεκτόπιση του μίσχου της υπόφυσης
- τουρκικό εφύπτιο σχήματος J
- κύστη διάμεσου λοβού

## Ως νεοπλασίες καταγράφηκαν

- 3 κραιοφαρυγγιώματα
- 3 γερμινώματα
- 3 μυελοβλαστώματα

Σε 3 ασθενείς διαπιστώθηκε πέραν της ανεπάρκειας της GH, πολλαπλή υποφυσιακή ανεπάρκεια ή πανυποφυσισμός.

## Συμπεράσματα

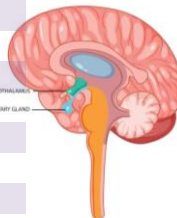
- Η απεικόνιση του υποθαλάμου και της υπόφυσης στα παιδιά με ανεπάρκεια GH είναι θεμελιώδης και αποκαλύπτει συχνά καλοήγη ευρήματα-παραλλαγές που λαμβάνονται υπόψη στο πλάνο διαχρονικής παρακολούθησης των ασθενών
- Οι νεοπλασίες ως αιτία ανεπάρκειας GH είναι σπάνιες και περιορίζονται κυρίως σε καλοήθεις όγκους όπως το κραιοφαρυγγίωμα.

## ΣΥΧΝΟΤΗΤΑ ΤΩΝ ΑΠΕΙΚΟΝΙΣΤΙΚΩΝ ΕΥΡΗΜΑΤΩΝ

### ΣΤΗΝ MRI ΥΠΟΘΑΛΑΜΟΥ-ΥΠΟΦΥΣΗΣ

(Κάθε ασθενής καταγράφεται σε μία ή περισσότερες κατηγορίες ευρημάτων)

Τούρκικο Εφύπτιο	
Κενό	12.86% (n=22)
Σχήμα J	6.43% (n=11)
Κύστεις	
Διάμεσου λοβού	3.50% (n=6)
Υπόφυση	
Υποπλασία	5.84% (n=10)
Αδενούπόφυση	
Υποπλασία	5.26% (n=9)
Μίσχος υπόφυσης	
Παρεκτοπισμένος προς τα πίσω	7.60% (n=13)



## ΜΕΜΟΝΩΜΕΝΑ ΑΠΕΙΚΟΝΙΣΤΙΚΑ ΕΥΡΗΜΑΤΑ ΚΑΙ ΣΥΝΔΥΑΣΜΟΙ, ΣΤΗΝ MRI

### ΥΠΟΘΑΛΑΜΟΥ-ΥΠΟΦΥΣΗΣ

(Κάθε ασθενής καταγράφεται σε μία μόνο κατηγορία ευρήματος)

Τούρκικο Εφύπτιο	
Κενό	4.67% (n=8)
Κύστεις	
Διάμεσου λοβού	1.75% (n=3)
Υπόφυση	
Κοίλωση άνω επιφάνειας	1.75% (n=3)
Μικροαδένωμα	1.75% (n=3)
Αδενούπόφυση	
Ελαττωμένο ύψος	1.75% (n=3)
Συνδυασμοί απεικονιστικών ευρημάτων	
Κενό τουρκικο εφύπτιο+Οπίσθια παρεκτόπιση του μίσχου	4.67% (n=8)
Κενό τουρκικο εφύπτιο + Υποπλασία αδενούπόφυσης	1.16% (n=2)